

ارزیابی توان هیدروکربن‌زایی سازندگدان در میدان پارس جنوبی با استفاده از روش ΔLogR

محمد علی اولادزاد عباس‌آبادی^{۱*} و بهرام موحد^۲

^۱گروه زمین‌شناسی، دانشگاه آزاد اسلامی واحد علوم و تحقیقات، تهران، ایران.

^۲شرکت نفت و گاز پارس، تهران، ایران.

تاریخ پذیرش: ۱۳۸۹/۰۷/۱۷ تاریخ دریافت: ۱۳۸۹/۱۱/۰۹

چکیده

امروزه، ارزیابی توان هیدروکربن‌زایی سازندگان با استفاده از روش ΔLogR (روشی براساس جدایی بین نمودارهای درون‌چاهی تخلخل (DT / CNL / RHOB) و نمودار درون‌چاهی مقاومت ویژه (RT) به عنوان روشنی مناسب در بسیاری از چاه‌های هیدروکربنی در جهان به کار برده می‌شود. آغاز این روش‌ها که در سال‌های ۱۹۸۰ مورد توجه پژوهشگران قرار گرفت براساس تأثیرات لایه‌های نمودارهای درون‌چاهی بود. Passey et al. (1990) روشی را برای پیش‌بینی غنی‌شدگی ماده آلی در سنگ‌های مادر ارائه کردند که در این دقت بالا و قابلیت بررسی محدوده وسیعی از درجه بلوغ بود. اساس این روش از برهم‌نگی نمودارهای درون‌چاهی تخلخل (صوتی، نوترون، چگالی) مقایسه شده ببروی نمودار درون‌چاهی مقاومت ویژه و تعیین مقدار جدایی بین این دو نمودار و محاسبه مقدار کل کربن آلی TOC و S2 است. با استفاده از این روش می‌توان در مراحل اکتشاف و تولید، ارزیابی نسبی مناسبی از سازندگان را بدون تهیه نمونه بدست آورد. در این مطالعه، مناطق دارای غنی‌شدگی ماده آلی سازندگدان در چاه SP-A واقع در ناحیه پارس جنوبی با استفاده از روش ΔLogR تعیین شده است و برای چاه SP-A نتایج حاصل از این بررسی با داده‌های مربوط به تجزیه پیرولیز را کاول نمونه‌های مغزه مقایسه شده‌اند که ارتباط خوبی نشان می‌دهند.

کلیدواژه‌ها: سازندگدان، کل کربن آلی (TOC)، درجه دگرگونی آلی (LOM)، پیرولیز راکاول (Rock-Eval Pyrolysis)، نمودار مقاومت ویژه (RT)، نمودار صوتی (ΔLogR)، روشن (t)

E-mail: m.oladzad@Gmail.com

*نویسنده مسئول: محمد علی اولادزاد عباس‌آبادی

۱- مقدمه

چاه ۱-SP کشف شد. این در حالی است که بخش قطري آن (North Dome) در سال ۱۹۷۱ میلادی مورد اکتشاف قرار گرفته است. گستره این میدان ۳۷۰۰ کیلومتر مربع می‌باشد و بین طول‌های خاوری $۵۰^{\circ} ۵۱' ۵۱''$ و عرض‌های شمالی $۲۵^{\circ} ۴۰' ۰۵''$ و $۲۷^{\circ} ۰۵'$ واقع شده است (شکل ۱) (شرکت نفت و گاز پارس، ۱۳۸۹).

۲- موقعیت و پیویگی‌های چاه SP-A در میدان پارس جنوبی

چاه SP-A بر روی کوهانک شمالی بین چاه‌های ۱-SP و ۲-SP منطبق بر خط رئوفیزیکی ۸۸P G5 Y11 و قرار دارد. موقعیت جغرافیایی آن بین طول خاوری $۵۲^{\circ} ۴' ۴''$ و عرض شمالی $۳۷^{\circ} ۰' ۲۶''$ واقع است. ارتفاع سکوی حفاری از سطح دریا ۱۵۷۲ متر و ژرفای آب ۶۷ متر و شامل دو حفاری یکی عمودی تا ژرفای ۲۰۰۰ متر تا سازندگان سورمه و دیگری افقی تا سازندگان داریان به ژرفای ۲۰۰۰ متر است. هدف از حفر این چاه، ارزیابی ذخیره هیدروکربوری سازندگان گروه‌های بنگستان و خامی برای بدست آوردن اطلاعات دقیق و کامل مخزنی شامل نوع سیال، سطوح تماس سیال‌ها، کیفیت سنگ مخزن در افق‌های مختلف و تعیین میزان بهره‌دهی سازندگان اصلی نفت‌ده گروه بنگستان و خامی به وسیله حفاری افقی است (شرکت نفت و گاز پارس، ۱۳۸۹).

۳- سازندگدان

نام این سازندگان از کوه گدان در ناحیه فارس، محل برداشت نمونه انتخاب شده است. مختصات محل برش الگو $۵۱^{\circ} ۳۷' ۲۹''$ عرض شمالی و $۱۲^{\circ} ۵۷' ۰۷''$ طول خاوری است. از نظر ترکیب سنگی شامل مارن یا شیل است که درین آن لایه‌هایی از آهک رسی به رنگ خاکستری تیره دیده می‌شود. سترای آن در حدود ۲۰۰ متر است. بر اساس فسیل‌های موجود، سن سازندگدان نش کومین بالایی تا آپسین تعیین شده است (درویش زاده، ۱۳۸۲؛ خسرو‌تهرانی، ۱۳۸۶؛ کلانتری، ۱۳۷۱؛ اشکان، ۱۳۸۳).

اهمیت اقتصادی، منابع نفت و گاز و هزینه‌های زیاد مطالعات اکتشافی باعث شده است تا پژوهشگران، به دنبال روش‌های جدید و کم‌هزینه برای اکتشاف منابع هیدروکربنی باشند. با توجه به تأثیراتی که نمودارهای درون‌چاهی در ارتباط با منابع هیدروکربنی از خود نشان می‌دهند، ارائه روش‌های مختلف در ارتباط با به کارگیری نمودارهای، برای بررسی سنگ منشأ مورد توجه پژوهشگران قرار گرفته است که منجر به ابداع روش‌های مختلف در ارتباط با ارزیابی هیدروکربن از نمودارهای درون‌چاهی شده است. استفاده از روش ΔLogR که اولین بار توسط Passey et al. (1990) ابداع گردیده است، می‌تواند برای تعیین مناطق غنی از مواد آلی که تنها نیاز به نمودارهای درون‌چاهی (تخلخل و مقاومت ویژه) و داده‌های اولیه در مورد نوع و درجه بلوغ کروزن دارد، هزینه‌ها و زمان مربوط به این مطالعات را تا حد قابل ملاحظه‌ای کاهش دهد و زمین‌شناسان را در تعیین سنگ‌های منشأ مؤثر و در نهایت، تعیین مراکز تجمع هیدروکربنی راهنمایی کند.

۴- هدف پژوهش

- تعیین توان هیدروکربن‌زایی سازندگدان براساس نمودارهای پتروفیزیکی.
- تعیین نوع هیدروکربن تولید شده براساس مقادیر ΔLogR در سازندگدان.
- بررسی روش ΔLogR برای تعیین مقدار TOC و کاربردی بودن این روش در کارهای اکتشافی و همخوانی این روش با روش‌های آزمایشگاهی.

۵- موقعیت جغرافیایی میدان پارس جنوبی

میدان گازی پارس جنوبی، بزرگ‌ترین میدان گازی جهان، در آب‌های خلیج فارس بر روی خط مرزی مشترک ایران و قطر به فاصله ۱۰۰ کیلومتری از بندر عسلویه در ساحل جنوبی ایران، ۱۰۵ کیلومتری شمال خاوری شبه جزیره قطر و ۳۳۰ کیلومتری شمال باختری دبی واقع شده است. میدان پارس جنوبی در سال ۱۹۹۰ میلادی با حفر

۶- سازند گدوان در چاه SP-A میدان پارس جنوبی

سازند گدوان در چاه SP-A منطقه پارس جنوبی از ژرفای ۱۱۸۱ متر تا ۱۲۵۲ متر قرار دارد. سازند گدوان در میدان پارس جنوبی شامل سه بخش است که به ترتیب شامل گدوان بالایی به سمترا ۲۰ متر، بخش خلیج به سمترا ۱۵ متر و گدوان زیرین به سمترا ۳۶ متر است. سازند گدوان بالایی و گدوان زیرین در چاه SP-A شامل تناوبی از لایه های شیل خاکستری آهکی، سیلتی نرم تا نیمه سخت، مارن های خاکستری نرم چسبنده و سنگ آهک های کرم تا خاکی ریزدانه، مادستون با بلورهای منفرد دلو میت رسی و پیریتی با خال های سیاه رنگ و بخش خلیج شامل آهک و در برخی نقاط دولومیتی شده است. گفتنی است که چاه SP-A بدلیل داشتن مغزه، برای بررسی انتخاب شده است. شکل ۲ تصویری نمادین از چاه حفاری شده SP-A است (شرکت نفت و گاز پارس، ۱۳۸۹).

۷- ارزیابی توان هیدرولوژیک زایی سنگ منشأ با استفاده از نمودارهای درون چاهی

پژوهشگران روش‌های بسیاری را با توجه به نمودارهای درون‌چاهی ابداع نمودند و با استفاده از آن به ارزیابی سنگ‌ها پرداخته‌اند؛ در اینجا به مجموعه‌ای از این کارها اشاره می‌شود:

- روش Meyr & Nederlof (1984) که شامل تفکیک سنگ‌های منشأ از غیرمنشأ با استفاده از نمودارهای مقاطع چگالی - مقاومت و بیژه استاندارد و زمان عبور صوت - مقاومت و بیژه استاندارد و طبقه‌بندی سنگ‌ها از نظر منشأ و با استفاده از مقدار D است.
- روش تعیین مقدار TOC با استفاده از نمودار چگالی از روش

- ارزیابی توان هیدرولوگیکرین زایی با استفاده از روش ΔLogR توسط Schmoker & Hestel (1983) و Passey et al. (1990)

Meyr & Nederlof (1984) روشنی را ارائه کردند که در آن، از ترکیب نمودارهای مقاومت ویژه، چگالی و صوتی استفاده شده بود. با این وجود در روش آنها بدون اینکه کوشش برای تعیین مقدار غنی شدگی آلی از ترکیب این نمودارهای درون چاهی صورت گیرد، بین سنگ های منشأ و غیر منشأ تفاوت می گذارد (شکل های ۳ و ۴). در روش آنها از یک نمودار متقطع مقاومت ویژه- چگالی و یا از یک نمودار متقطع مقاومت ویژه- زمان عبور صوت استفاده می شود. داده های با مقاومت ویژه یا زمان عبور صوت نسبتاً بالا و یا چگالی ظاهری پایین، یک سنگ منشأ احتمالی را نشان می دهند، در غیر این صورت احتمالاً سنگ، فقیر از ماده آلی است (Aly et al., 2003).

میک روشن آماری که نشان دهنده عملکرد سنگ منشاء است، تعریف می‌کنند. ویژگی‌های اصلی این تابع، فاصله آن بین رده اول و رده دوم است، که در زیر نمایش داده است؛ اساساً روش بر تعیین مقادیر اتفاقی \bar{Y} در هر مشاهده خو اهدید:

N1 و N2 به ترتیب سنگ منشأ و سنگ غیرمنشأ را نشان می‌دهند
(Aly et al., 2003)

معادله زیر برای فاصله‌های سنگ آهک توسط Meyr & Nederlof (1984) بیان شده است:

در مورد صوتی / مقاومت ویژه

75 (1)

درمورد چگالی / مقاومت ویژه

۹- روش $\Delta \log R$ بیشینی غنی‌شدگی آلتی

این روش در اوایل سال ۱۹۹۰ شروع و آزمایش شد. پس از آن این روش در خیلی از میادین نفت و گاز مشهور جهان به کار برد شده است (Aly et al., 2003). اساس این روش از برهم نهی نمودارهای درون چاهی مقاومت ویژه با نمودارهای درون چاهی تخلخل شامل نمودارهای نوترون، چگالی، صوتی است. نقاطی که بیشترین همپوشانی (برهم نهی) را دارند به عنوان خط مبنا و نقاطی که در آن جدایش رخ داده است به عنوان $\Delta \log R$ (بخش، فقری از مواد آلی، را در یک سازند مشخص، خط مبنا و

سازند گدوان در چاه SP-A در محدوده نابالغ تا اوایل بلوغ قرار دارد و مقدار LOM آن می تواند بین ۶ تا ۷ باشد. بدین ترتیب مقدار TOC با مقادیر LOM ۶/۵ و ۷ برای سازند گدوان تعیین شده است (جدول ۱).

همان گونه که در جدول ۱ دیده می شود، نقاطی که مقدار $\Delta LogR$ در آنها صفر یا منفی باشد حذف می شوند و برای مقادیر مثبت، مقدار TOC آن محاسبه می شود.

۱۲- تعیین نوع هیدروکربن و تعیین توان هیدروکربن زایی

با توجه به مقدارهای جدول ۲ می توان نوع هیدروکربن و توان هیدروکربن زایی را تعیین کرد (رضایی، ۱۳۸۰؛ کمالی و شایسته، ۱۳۸۷؛ کمالی و قربانی، ۱۳۸۵). جدول های ۳ و ۴ مقادیر TOC، $\Delta LogR$ و همچنین نوع هیدروکربن تولیدی با استفاده از روش $\Delta LogR$ در سازند گدوان برای چاه SP-A را نشان می دهند. جدول ۵ میانگین مقادیرهای بدست آمده از جداول ۳ و ۴ است.

۱۳- تفسیر سازند گدوان با توجه به میانگین جدول

با توجه به مقادیر بدست آمده از میانگین جدول سازند گدوان یک سنگ منشاء ضعیف تا مناسب است که توان هیدروکربن زایی ضعیفی دارد و در صورت رسیدن به درجه بلوغ می تواند تولید گاز کند.

با توجه به نوع هیدروکربن تولید شده از سازند گدوان که از نوع گازی است می توان چنین استنباط کرد که کروزن آن از نوع کروزن III است چون کروزن II در مراحل اولیه بلوغ، نفت و در مراحل بعدی با افزایش بلوغ، گاز تولید می کند اما کروزن نوع III یک کروزن گازرا است. با این فرض، محاسبات برای کروزن نوع انجام می گیرد که در جدول ۶ برای LOM ۶/۵ TOC به دست آمده است.

با توجه به نوع هیدروکربن که در جدول ۶ از کروزن نوع III بدست آمده است در برخی از ژرفاهای نوع هیدروکربن تولید شده از نوع نفت و گاز است و کروزن نوع III توانایی تولید نفت را ندارد و تنها هیدروکربنی که می تواند تولید کند از نوع گازی است. پس می توان چنین دریافت که کروزن سازند گدوان در میدان پارس جنوبی از نوع کروزن II است که به دلیل بالا آمدگی و حکم فرما بودن شرایط اکسیدان در منطقه، ویژگی های کروزن نوع III را کسب کرده است.

برای مقایسه مقادیر بدست آمده از روش $\Delta LogR$ ، نمونه های مغذه های موجود از سازند گدوان انتخاب شده و مورد تجزیه پیرویز راکاول قرار گرفته است (جدول ۷). همان گونه که در جدول ۷ دیده می شود، مقادیر بدست آمده از روش $\Delta LogR$ در بیشتر ژرفاهای هم خوانی خوبی با نمونه های تجزیه شده از روش پیرویز راکاول دارد اما در دو ژرفای ۱۲۴۱ متر و ۱۲۴۳ متر انطباقی مشاهده نمی شود که علت آن می تواند به دلیل خطای انسانی و وجود بیتونه های جامد باقیمانده در سازند گدوان هنگام مهاجرت از این سازند باشد که باعث افزایش در مقدار TOC بدست آمده از روش $\Delta LogR$ شده است.

۱۴- نتیجه گیری

- بر اساس مطالعات داده های چاه پیمایی و نتایج حاصل از روش $\Delta LogR$ ، می توان دریافت که سازند گدوان در میدان پارس جنوبی به علت شرایط بلوغ توانایی تولید نفت و گاز ضعیفی دارد.

- نوع هیدروکربن تولید شده از سازند گدوان با توجه به نتایج حاصل از روش $\Delta LogR$ ، به شرط رسیدن به درجه بلوغ از نوع گازی خواهد بود.

- نوع کروزن موجود در سازند گدوان از نوع II است. اما به علت اکسیدان بودن محیط تشکیل در این سازند، کروزن نوع II ویژگی های کروزن نوع III را از خود نشان می دهد.

- نتایج حاصل از روش $\Delta LogR$ تا حد زیادی با روش های آزمایشگاهی همخوانی

بخش دارای مواد آلی را در یک سازند مشخص $\Delta logR$ می گویند). در نظر می گیرند (Passey et al., 1990; Passey et al., 1998).

۱-۹. تعیین $\Delta logR$ از برهم نهی نمودار مقاومت ویژه - نوترون (شکل ۵)

$$\Delta LogR = \log_{10} (R / R_{baseline}) + 4.0(\phi N - \phi N_{baseline}) \quad (11)$$

R = مقدار مقاومت ویژه نمودار

$R_{baseline}$ = مقدار مقاومت ویژه خط مبنای

ϕN = مقدار نوترون نمودار

$\phi N_{baseline}$ = مقدار نوترون خط مبنای

۲-۹. تعیین $\Delta logR$ از برهم نهی نمودار مقاومت ویژه - چگالی (شکل ۶)

$$\Delta LogR = \log_{10} (R / R_{baseline}) - 2.5(\rho b - \rho_{baseline}) \quad (12)$$

R = مقدار مقاومت ویژه نمودار

$R_{baseline}$ = مقدار مقاومت ویژه خط مبنای

ρb = مقدار چگالی نمودار

$\rho_{baseline}$ = مقدار چگالی خط مبنای

۳-۹. تعیین $\Delta logR$ از برهم نهی نمودار مقاومت ویژه - صوی (شکل ۷)

$$\Delta LogR = \log_{10} (R / R_{baseline}) + 0.02(\Delta t - \Delta t_{baseline}) \quad (13)$$

R = مقدار مقاومت ویژه نمودار

$R_{baseline}$ = مقدار مقاومت ویژه خط مبنای

Δt = مقدار زمان عبور صوت نمودار

$\Delta t_{baseline}$ = مقدار زمان عبور صوت خط مبنای

با محاسبه مقدار $\Delta logR$ و تعیین مقدار سطح درجه دگرگونی (LOM)، می توان

مقادیر TOC را به صورت زیر محاسبه کرد (Passey et al., 1990)

$$TOC = \Delta LogR * 10^{(2.297 - 0.1688 * LOM)} \quad (14)$$

TOC = مجموع مواد آلی

$\Delta LogR$ = بخش دارای مواد آلی در یک سازند مشخص را می گویند.

LOM = سطح دگرگونی آلی

۱۰- تعیین مقدار S2

با اطلاع از نوع کروزن می توان S2 را از نمودار TOC در برابر S2 با استفاده از LOM تعیین کرد (Passey et al., 1990) (شکل های ۸ و ۹).

۱۱- ارزیابی توان هیدروکربن زایی سازند گدوان در چاه SP-A میدان پارس جنوبی با استفاده از روش $\Delta LogR$

یادآوری: چاه SP-A به علت داشتن مغزه با استفاده از روش $\Delta LogR$ مورد ارزیابی قرار گرفته است.

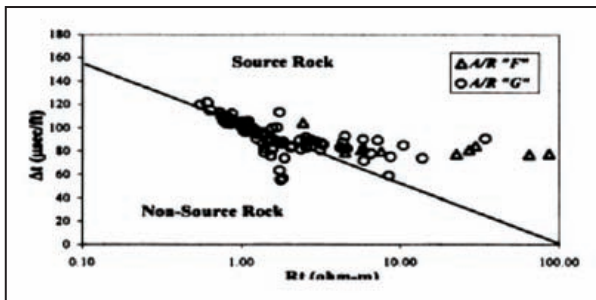
برای ارزیابی سازند گدوان در چاه SP-A از دو نمودار مقاومت ویژه - صوتی استفاده شده است چون کمترین تأثیر دیواره چاه و کمترین خط را در نمودارهای صوتی داریم (شکل ۱۰).

در شکل ۱۰ نمودار مقیاس بندی شده مقاومت ویژه - زمان عبور صوت سازند گدوان رسم شده است. بخشی که بیشترین همپوشانی را دارد به عنوان خط مبنای در نظر گرفته می شود که برای مقاومت ویژه برابر ۱/۴۷ اهم متر و برای زمان عبور صوت ۹۱/۷۶ میکرو ثانیه بر فوت است.

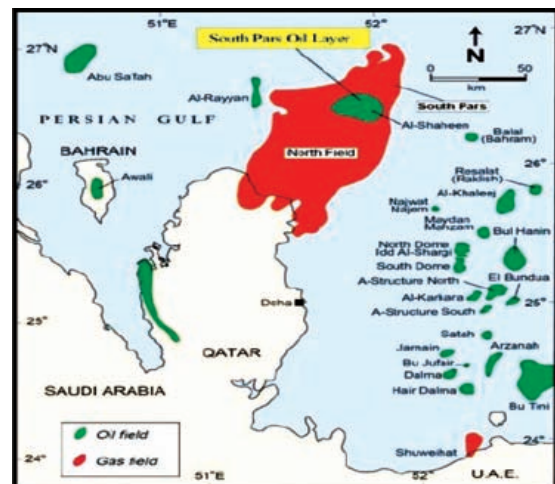
با جایگزینی مقدار عدد خط مبنای در فرمول $\Delta LogR$ مقدار $\Delta LogR$ محاسبه می شود و برای تعیین TOC نیاز به تعیین LOM است. مقدار Tmax به دست آمده از دو چاه SP2 و SP3 که از سازند گدوان با استفاده از روش پیرویز راکاول تعیین شده است، به ترتیب ۴۲۶ و ۴۲۱ درجه سانتی گراد و درجه حرارت سازند گدوان در چاه SP-A برابر ۵۸ تا ۶۱ درجه است. در این صورت می توان چنین استنباط کرد که

- اختلاف مشاهده شده بین اعداد بدست آمده از روش ΔLogR و نتایج حاصل از روش آزمایشگاهی می‌تواند در ارتباط با خطای انسانی، شرایط نگهداری نمونه‌ها، نبود هم خوانی بین معزه و نمودارهای درون‌چاهی و وجود بیتمن‌های جامد باقیمانده که در طی مهاجرت در سازند گدوان به دام افتاده‌اند دانست.

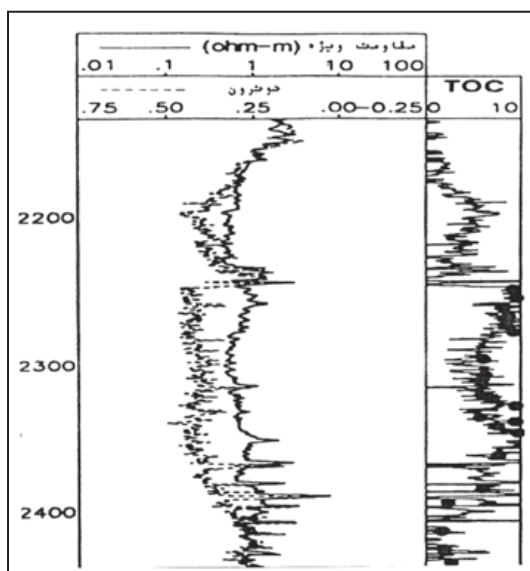
دارد، اما به علت تفاوت اعداد حاصل از نمودار ΔLogR با روش راک اول، نمی‌توان مقدار واقعی TOC را در سازندها با استفاده از روش ΔLogR به طور قطع تعیین کرد.
- با استفاده از روش ΔLogR می‌توان مقدار TOC، نوع هیدرولوگی سازند گدوان را به صورت کلی (میانگین) در انواع سازندها تعیین و پیش‌بینی کرد.



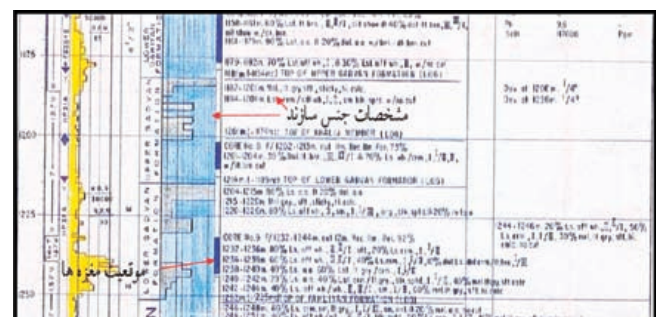
شکل ۴- اطلاعات سنگ منشأ از کراس پلات نمودار درون‌چاهی زمان عبور صوت- مقاومت ویژه در چاه ۱- وادی رایان نقاط زیر خط مربوط به سنگ غیرمنشأ و نقاط بالای خط مربوط به سنگ منشأ است (Mayer & Nederlof, 1984).



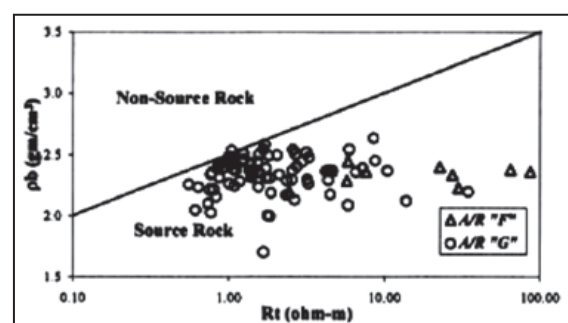
شکل ۱- موقعیت جغرافیایی لایه نفتی و گازی در میدان پارس جنوبی (شرکت نفت و گاز پارس، ۱۳۸۹).



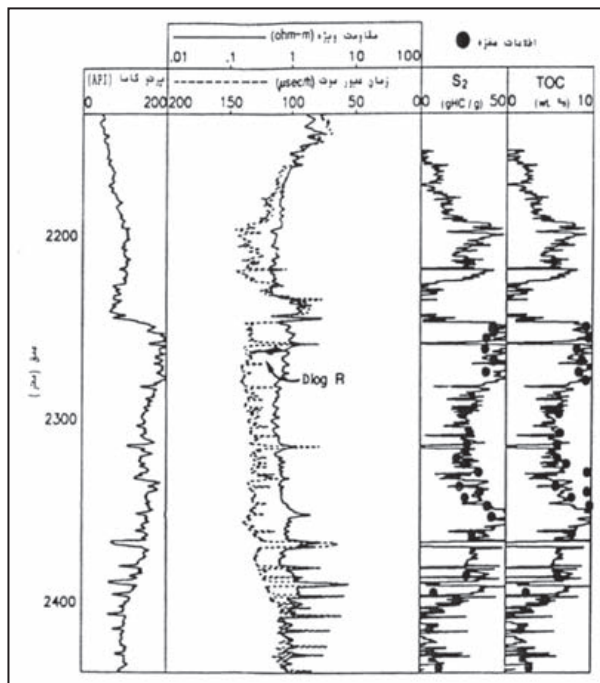
شکل ۵- برهم‌نهی نمودار نوترنون- مقاومت ویژه (Passey et al., 1990)



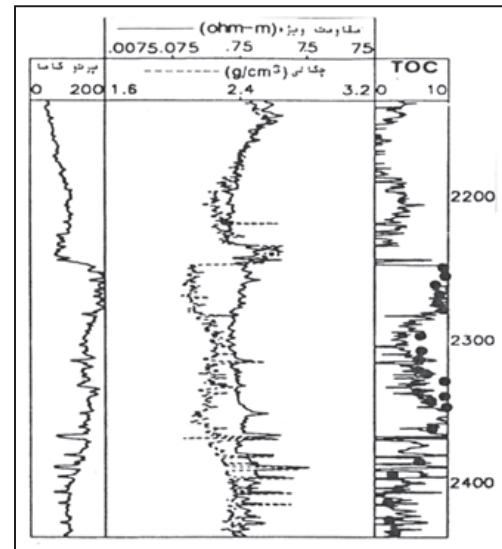
شکل ۲- تصویری نمادین از چاه حفاری شده SP-A همراه با اطلاعات سرچاهی که شامل جنس سازندها و ژرفایی مغذه‌های تهیه شده است (شرکت نفت و گاز پارس، ۱۳۸۹).



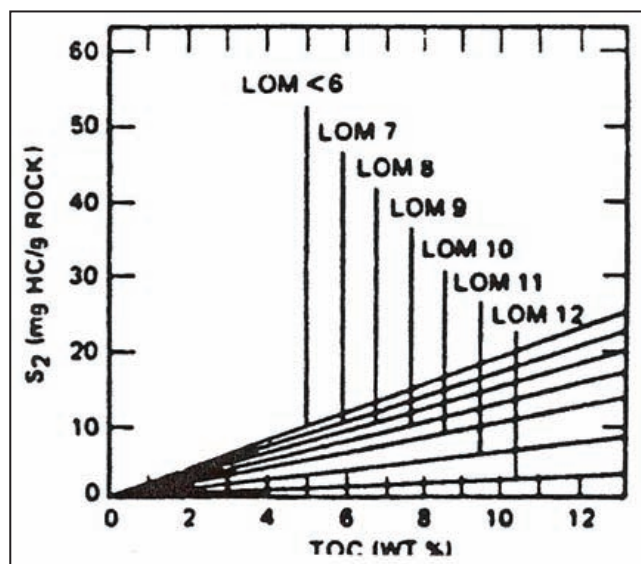
شکل ۳- اطلاعات سنگ منشأ از کراس پلات نمودار درون‌چاهی چگالی- مقاومت ویژه در چاه ۱- وادی رایان نقاط زیر خط مربوط به سنگ غیرمنشأ و نقاط بالای خط مربوط به سنگ‌های غیرمنشأ است (Mayer & Nederlof, 1984).



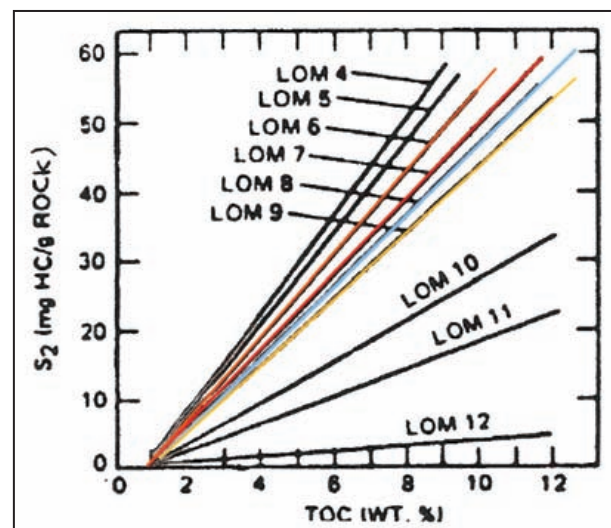
شکل ۷- برهم‌نگی نمودار درون چاهی مقاومت ویژه- صوتی (Passey et al., 1990)



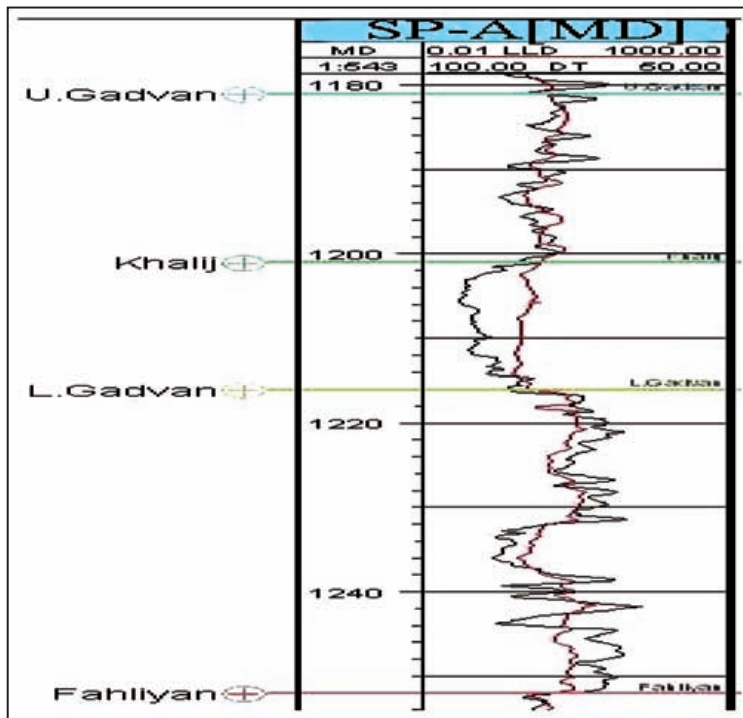
شکل ۶- برهم‌نگی نمودار چگالی- مقاومت ویژه (Passey et al., 1990)



شکل ۹- نمودار S2 در مقابل TOC با استفاده از LOM برای کروزن نوع II
(Passey et al., 1990)



شکل ۸- نمودار S2 در مقابل TOC با استفاده از LOM برای کروزن نوع II
(Passey et al., 1990)



شکل ۱۰- برهم‌نهی نمودار درون‌چاهی مقاومت ویژه- زمان عبور صوت سازند گدوان، چاه SP-A میدان پارس جنوبی.

جدول ۱- نمونه‌ای از محاسبات با استفاده از روش ΔLogR برای سازند گدوان در چاه SP-A میدان پارس جنوبی.

ذرفما (فوت)	ذرفما (فوت)	ذرفما (فوت)	درجه حرارت فارنهایت	Δt	Rt	Rt 75	ΔlogR	TOC 7	TOC	TOC 6.5	TOC
۱۱۸۲/۳	۳۸۷۶/۶	۱۳۷/۹	۷۳/۹	۱/۸	۳/۲	-۰/۰	-۰/۱		-۰/۱		
۱۱۸۲/۳	۳۸۷۶/۷	۱۳۷/۹	۷۳/۹	۱/۸	۳/۳	-۰/۰	-۰/۰		-۰/۰		
۱۱۸۲/۴	۳۸۷۶/۷	۱۳۷/۹	۷۳/۸	۱/۹	۳/۳	۰/۰	۰/۰	۰/۰	۰/۰	۰/۰	۰/۰
۱۱۸۲/۴	۳۸۷۶/۸	۱۳۷/۹	۷۳/۷	۱/۹	۳/۴	۰/۰	۰/۰	۰/۰	۰/۱	۰/۱	۰/۱
۱۱۸۲/۴	۳۸۷۶/۹	۱۳۷/۹	۷۳/۶	۱/۹	۳/۵	۰/۰	۰/۱	۰/۱	۰/۲	۰/۲	۰/۲

جدول ۲- ارزیابی توان هیدرولوکرین زایی و تشخیص نوع هیدرولوکرین (رضابی، ۱۳۸۰؛ کمالی و قربانی، ۱۳۸۵)

HI	نوع هیدرولوکرین	S2	توان هیدرولوکرین زایی
۱۵۰ - ۰	گاز	۲/۵ - ۰	ضعیف
۳۰۰ - ۱۵۰	نفت و گاز	۵ - ۲/۵	مناسب
بیش از ۳۰۰	نفت	۱۰ - ۵	خوب
		بیش از ۱۰	خیلی خوب

جدول ۴- مقادیر به دست آمده برای کروزن نوع II و LOM=6/5 سازند گدوان در چاه SP-A میدان پارس جنوبی.

نوع هیدرولوکرین	HI	S2	TOC	ژرفای (متر)	چاه
گاز	۱۰۶/۰	۰/۳	۰/۳	۱۱۸۲/۷-۱۱۸۲/۴	SP - A
گاز	۹۶/۸	۱/۲	۱/۲	۱۱۸۵/۱-۱۱۸۲/۹	SP - A
گاز	۶۸/۲	۰/۵	۰/۸	۱۱۹۱/۸-۱۱۹۱/۴	SP - A
گاز	۹۲/۴	۱/۱	۱/۱	۱۱۹۶/۴-۱۱۹۵/۴	SP - A
گاز	۶۷/۰	۰/۵	۰/۸	۱۱۹۹/۷-۱۱۹۹/۱	SP - A
-	-	-	۰/۰	۱۲۰۵/۷	SP - A
گاز	۹۶/۱	۱	۱/۰	۱۲۱۶/۸-۱۲۱۶/۴	SP - A
گاز، نفت	۲۲۱/۲	۳/۶	۱/۶	۱۲۱۷/۸-۱۲۱۷/۲	SP - A
گاز، نفت	۲۸۲/۷	۵/۴	۱/۹	۱۲۲۱/۰-۱۲۱۸/۴	SP - A
گاز	۱۲۳/۰	۰/۱	۰/۱	۱۲۲۳/۰-۱۲۲۲/۵	SP - A
گاز	۷۳/۱	۰/۳	۰/۴	۱۲۲۶/۹-۱۲۲۶/۷	SP - A
گاز، نفت	۲۴۷/۵	۵	۲/۰	۱۲۳۱/۰-۱۲۲۷/۲	SP - A
گاز	۶۷/۲	۰/۳	۰/۵	۱۲۳۱/۶-۱۲۳۱/۳	SP - A
گاز، نفت	۲۵۶/۸	۴/۷	۱/۸	۱۲۴۰/۲-۱۲۳۸/۶	SP - A
نفت	۳۲۵/۲	۸	۲/۴	۱۲۴۴/۴-۱۲۴۰/۴	SP - A
گاز	۷۷/۵	۰/۳	۰/۵	۱۲۴۷/۹-۱۲۴۷/۳	SP - A
گاز	۶۹/۵	۰/۵	۰/۸	۱۲۴۸/۸-۱۲۴۸/۰	SP - A
-	-	-	۰/۰	۱۲۵۰/۱-۱۲۵۰/۰	SP - A
گاز	۷۰	۰/۴	۰/۶	۱۲۵۱/۶-۱۲۵۱/۰	SP - A

جدول ۳- مقادیر به دست آمده برای کروزن نوع II و LOM=7 ، سازند گدوان در چاه SP-A میدان پارس جنوبی.

نوع هیدرولوکرین	HI	S2	TOC	ژرفای (متر)	چاه
گاز	۷۱/۴	۰/۲	۰/۲	۱۱۸۲/۷-۱۱۸۲/۴	SP - A
گاز، نفت	۲۸۳/۰	۳	۱/۰	۱۱۸۵/۱-۱۱۸۲/۹	SP - A
گاز	۷۸/۵	۰/۵	۰/۷	۱۱۹۱/۸-۱۱۹۱/۴	SP - A
گاز	۶۳/۲	۰/۶	۰/۹	۱۱۹۶/۴-۱۱۹۵/۴	SP - A
گاز	۷۶/۳	۰/۵	۰/۷	۱۱۹۹/۷-۱۱۹۹/۱	SP - A
-	-	-	۰/۰	۱۲۰۵/۷	SP - A
گاز	۶۸/۶	۰/۵	۰/۸	۱۲۱۶/۸-۱۲۱۶/۴	SP - A
گاز، نفت	۱۹۴/۸	۲/۶	۱/۳	۱۲۱۷/۸-۱۲۱۷/۲	SP - A
گاز، نفت	۱۸۴/۷	۲/۹	۱/۵	۱۲۲۱/۰-۱۲۱۸/۴	SP - A
گاز	۱۴۵/۴	۰/۱	۰/۱	۱۲۲۳/۰-۱۲۲۲/۵	SP - A
گاز	۱۰۲/۹	۰/۳	۰/۳	۱۲۲۶/۹-۱۲۲۶/۷	SP - A
گاز، نفت	۲۱۰/۸	۳/۵	۱/۶	۱۲۳۱/۰-۱۲۲۷/۲	SP - A
گاز	۷۵	۰/۳	۰/۴	۱۲۳۱/۶-۱۲۳۱/۳	SP - A
گاز، نفت	۱۸۱/۲	۲/۷	۱/۴	۱۲۴۰/۲-۱۲۳۸/۶	SP - A
گاز، نفت	۲۹۷/۰	۶	۲/۰	۱۲۴۴/۴-۱۲۴۰/۴	SP - A
گاز	۵۲/۳	۰/۳	۰/۴	۱۲۴۷/۹-۱۲۴۷/۳	SP - A
گاز	۶۶/۱	۰/۴	۰/۶	۱۲۴۸/۸-۱۲۴۸/۰	SP - A
-	-	-	۰/۰	۱۲۵۰/۱-۱۲۵۰/۰	SP - A
گاز	۷۶	۰/۳	۰/۵	۱۲۵۱/۶-۱۲۵۱/۰	SP - A

جدول ۵- میانگین مقادیر TOC، S2، HI و نوع هیدرولوکرین تولید شده از سازند گدوان در چاه SP-A میدان پارس جنوبی.

نوع هیدرولوکرین	HI	S2	TOC	ژرفای (متر)	چاه
گاز	۷۰	۰/۵	۰/۸	میانگین جدول LOM 7	SP - A
گاز	۹۲/۷	۰/۹	۰/۹	میانگین جدول LOM 6.5	SP - A

جدول ۶- مقادیر به دست آمده برای کروزن نوع III و LOM=6/5 ، سازند گدوان در چاه SP-A میدان پارس جنوبی.

نوع هیدرولوکرین	HI	S2	TOC	ژرفای (متر)	چاه
گاز	۱۲۱/۹	۰/۵	۰/۴	۱۲۲۶/۹-۱۲۲۶/۷	SP - A
گاز، نفت	۱۵۳/۴	۳/۱	۲/۰	۱۲۳۱/۰-۱۲۲۷/۲	SP - A
گاز	۱۰۸/۶	۰/۶	۰/۵	۱۲۲۱/۶-۱۲۳۱/۳	SP - A
گاز	۱۴۲/۰	۲/۶	۱/۸	۱۲۴۰/۲-۱۲۳۸/۶	SP - A
گاز، نفت	۱۵۲/۴	۳/۷	۲/۴	۱۲۴۴/۴-۱۲۴۰/۴	SP - A
گاز	۱۲۳/۵	۰/۶	۰/۵	۱۲۴۷/۹-۱۲۴۷/۳	SP - A
گاز	۱۴۸/۷	۱/۲	۰/۸	۱۲۴۸/۸-۱۲۴۸/۰	SP - A
-	-	-	۰/۰	۱۲۵۰/۱-۱۲۵۰/۰	SP - A
گاز	۱۰۶	۰/۶	۰/۶	۱۲۵۱/۶-۱۲۵۱/۰	SP - A

نوع هیدرولوکرین	HI	S2	TOC	ژرفای (متر)	چاه
گاز	۱۰۶/۶	۰/۳	۰/۳	۱۱۸۲/۷-۱۱۸۲/۴	SP - A
گاز	۱۱۲/۴	۱/۴	۱/۲	۱۱۸۵/۱-۱۱۸۲/۹	SP - A
گاز	۱۴۷/۰	۱/۲	۰/۸	۱۱۹۱/۸-۱۱۹۱/۴	SP - A
گاز	۱۰۶/۷	۱/۲	۱/۱	۱۱۹۶/۴-۱۱۹۵/۴	SP - A
گاز	۱۳۹/۷	۱/۲	۰/۸	۱۱۹۹/۷-۱۱۹۹/۱	SP - A
-	-	-	۰/۰	۱۲۰۵/۷	SP - A
گاز	۱۲۰/۱	۱/۲	۱/۰	۱۲۱۶/۸-۱۲۱۶/۴	SP - A
گاز، نفت	۱۵۴/۵	۲/۵	۱/۶	۱۲۱۷/۸-۱۲۱۷/۲	SP - A
گاز، نفت	۱۵۷/۰	۳	۱/۹	۱۲۲۱/۰-۱۲۱۸/۴	SP - A
گاز	۱۱۵/۳	۰/۱	۰/۱	۱۲۲۳/۰-۱۲۲۲/۵	SP - A

جدول ۷- مقادیر به دست آمده از نمونه های تجزیه شده از روش پیرو لیز را که اول و مقادیر به دست آمده TOC در همان ژرفای با روش ΔLogR برای سازند گدوان در چاه SP-A میدان پارس جنوبی.

ژرفای نمونه (متر)	S1	S2	S3	Tmax	HI	OI	TPI	$\text{TOC}_{\text{R-EP}}$	$\text{TOC}_{\Delta \text{LogR}}$	
									٪/۵	٪
۱۲۳۱/۵	۱/۷	۱/۵	۰/۴	۴۱۷	۳۰۸	۹۶	۰/۵	۰/۵	۰/۴	۰/۵
۱۲۴۰	۰/۲	۰/۱	۰/۲	۴۲۶	۱۱۳	۲۲۳	۰/۶	۰/۱	۰/۲	۰/۱
۱۲۴۱/۵	۰/۱	۰/۳	۰/۸	۴۱۶	۷۳	۱۹۵	۰/۲	۰/۴	۴/۶	۳/۸
۱۲۴۳	۰/۳	۰/۸	۰/۹	۴۳۱	۱۶۵	۱۹۴	۰/۳	۰/۴	۲/۵	۲/۰
۱۲۳۸/۷	۰/۲	۰/۴	۰/۶	۴۲۴	۱۲۰	۱۶۲	۰/۲	۰/۴	۰/۴	۰/۳
۱۲۳۹/۰	۰/۲	۰/۵	۰/۸	۴۱۷	۱۱۱	۱۸۴	۰/۳	۰/۴	۰/۶	۰/۵
۱۲۴۰/۴	۰/۳	۰/۷	۰/۶	۴۲۱	۱۹۲	۱۶۲	۰/۳	۰/۴	۰/۴	۰/۳
۱۲۴۲/۲	۰/۳	۰/۳	۱/۰	۴۲۱	۱۵۲	۴۰۴	۰/۴	۰/۲	۱/۰	۰/۸

کتابخانه

- اشکان، ع. م.، ۱۳۸۳- اصول مطالعات ژئوشیمیایی با نگرش ویژه به حوضه رسوبی زاگرس، شرکت ملی نفت.
 اطلاعات داده شده از شرکت نفت و گاز پارس، ۱۳۸۹
 خسرو تهرانی، خ.، ۱۳۸۶- چینه شناسی ایران، انتشارات دانشگاه تهران.
 درویش زاده، ع.، ۱۳۸۲- زمین شناسی ایران، انتشارات امیر کبیر.
 رضایی، م. ر.، ۱۳۸۰- زمین شناسی نفت، تهران، انتشارات علوی.
 کلانتری، ن.، ۱۳۷۱- میکروفیل های زاگرس، انتشارات شرکت نفت ایران.
 کمالی، م. ر.، شایسته، م.، ۱۳۸۷- مبانی ژئوشیمی در اکتشاف نفت، انتشارات پژوهشگاه صنعت نفت.
 کمالی، م. ر، قربانی، ب.، ۱۳۸۵- ژئوشیمی آلی از فیتوپلانکتون ها تا تولید نفت، انتشارات آرین زمین.

References

- Abou Shagar, S., 2006- " source rock evaluation of some intervals in the gulf of Suez area, EGYPT" EGYPTIAN JOURNAL
 Aly, H., Nasser S. A., Abou Ashour, M. Al, and El-Gezeiry, M., ,M. H. M., 2003- "resistivity, radioactivity and porosity logs as tools to evaluate the organic content of Abu Roash "F" and "G" members, north western desert, Egypt" EGS JOURNAL
 Meyr, B. & Nederlof, M., 1984- " identification of source rocks on wireline logs by density/resistivity and sonic transite time/resistivity cross plots" AAPG
 Passey, Q., Creaney, J., Kulla, F., Moretti, F. & Stroud, J., 1998- " Well log evaluation of organic-rich rocks, 14th International Meeting on Organic Geochemistry" AAPG
 Passey, Q., Creaney, J., Kulla, F., Moretti, F. & Stroud, J., 1990- "A practical model for organic richness from porosity and resistivity logs" AAPG
 Schmoker, J. & Hester, T., 1983- "Organic carbon in Bakken Formation.U.S. Portion of Williston Basin" AAPG
 Schmoker, J. & Hester, T., 1989- "Oil generation inferred from formation resistivity Bakken Formation, Williston Basin, North Dakota: Transactions of the 13th SPWLA Annual Logging Symposium"

Eocene to Oligocene, which are overlain conformably by the Asmari Formation. The Asmari Formation consists of 250 m limestone and argillaceous limestone of which 210 m belongs to the lower Asmari and 40 m to middle Asmari. Argillaceous limestone and evaporitic-marly sediments of the Gachsaran Formation are overlain by the Asmari Formation. The Gachsaran Formation with a thickness of 510m is composed of three members of Chehel, Champeh and Moll. Pure and thick basal limestones of the Mishan Formation (Guri Member) with a thickness of 302 m, is situated above the Gachsaran Formation. Finally, Bakhtyari conglomerate lies unconformably over the Mishan Formation. Variety of studied rock units in this section has caused different sedimentary environments, different facies and presence of abundant planktonic and benthonic foraminifera. By studying 203 samples including 193 hard and 10 washed samples, 34 genera and 47 species of benthonic foraminifera and 8 genera and 13 species of planktonic foraminifera, algae, bryozoa and different macrofossils fragments were identified. Based on foraminiferal assemblages, the age of the lower part of the Pabdeh Formation is Late Eocene (Priabonian) and the upper part is Early Oligocene and the Asmari Formation is Oligocene (Late Rupelian-Chattian) to Early Miocene (Aquitianian). Also, the Gachsaran Formation belongs to Early Miocene (Aquitianian-Burdigalian) and the age of the Mishan Formation (Guri Member) is Late Miocene (Burdigalian). On the basis of recognized foraminifera association, Nareh stratigraphical section can be correlated with first to fourth Biozones of biozonation of Adams and Bourgeois (1967) and 54,57,59,61,63 and 64 Biozones of Wynd (1965).

Keywords: Foraminifera, Biostratigraphy, Oligocene-Lower Miocene, Interior Fars.

For Persian Version see pages 157 to 166

*Corresponding author: J. Daneshian; E-mail: daneshian@tmu.ac.ir

Hydrocarbon Potential Evaluation of Gadvan Formation by Using ΔLogR Method in South Pars Field

M. A. Oladzad Abbas Abadi^{1*} & B. Movahed²

¹Dept. of Geology, Science and Research Branch, Islamic Azad University, Tehran, Iran

²Pars Oil & Gas Co., Tehran, Iran

Received: 2010 October 09 Accepted: 2011 January 29

Abstract

Hydrocarbon potential Evaluation of formations by using ΔlogR method (a method based on separation of well logging of porosity DT/CN./RHOB) and resistivity well logging (Rt). This method has been today applied as an appropriate method in many of famous wells of the world. The beginning of these methods drew attention of many researchers in 1980. It had organic matters on the well logging based on the influences of layers containing organic matters. Passey et al. (1990) provided away for predicting of rich of organic material in source rock that have a high accuracy and potential for studying extensive range of maturity condition. The basis of this method is overlapping porosity well logging (sonic, neutron, density) scaled on the resistivity well logging and determining the degree of separation between these two logs and calculation of total organic carbon TOC and S2. Using this method we can gain appropriate relative evaluation of formations without preparing sample during times of exploration. In this study, the areas which have rich organic matter of Gadvan formation in the SP-A well located in the South Pars Area have been determined with use of ΔlogR way and for SP-A well, yielding results of this studies was compared with data relating to Rock – Eval Pyrolysis analysis of core samples and was observed good correlation.

Keywords: Gadvan Formation, TOC, LOM, Rock-Eval Pyrolysis, Resistivity log, Sonic log, ΔLogR method

For Persian Version see pages 167 to 174

*Corresponding author: M. A. Oladzad Abbas abadi; E-mail: m.oladzad@gmail.com